

# ВЛИЯНИЕ ФЛУКТУАЦИЙ МАГНИТНЫХ МОМЕНТОВ МИКРОЧАСТИЦ НА ВРЕМЕННЫЕ ЗАВИСИМОСТИ МЕССБАУЭРОВСКОГО РАССЕЯНИЯ

*Е.А.Попов*

*Физико-технический институт  
420029, г. Казань.*

Поступила в редакцию 2 июля 1991 г.

Получены временные зависимости рассеянного мессбауэровского излучения на ядрах Fe<sup>57</sup> в составе суперпарамагнитной частицы типа "легкая ось". В рамках модели Кубо-Андерсона показано, что форма кривых определяется средней частотой флуктуаций магнитного момента микрочастицы.

Известно, что SEDM-методика мессбауэровской спектроскопии <sup>1</sup> использовалась для изучения флуктуационных процессов (ФП) в суперпарамагнитных частицах (СПЧ) гетита FeOOH <sup>2</sup>. Суть методики заключается в селективном возбуждении  $\gamma$ -резонансного перехода сверхтонкой структуры (СТС) ядра и частотном анализе рассеянных  $\gamma$ -квантов. С ее помощью показано, что для микрочастиц гетита скорее всего справедлива флуктуационная модель Кубо-Андерсона (МКА).

Не менее важную информацию о характере ФП в суперпарамагнитном образце можно извлечь из временного анализа рассеянного излучения в геометрии SEDM. Существующие экспериментальные методики позволяют сделать это <sup>3-5</sup>. В качестве первого шага, в данной работе рассмотрено влияние флуктуационных процессов на временные зависимости рассеянного излучения (ВЗРИ) в рамках МКА. Эта модель справедлива для СПЧ типа "легкая ось". Для получения временных зависимостей применяется формализм матрицы плотности в представлении Шредингера. Он был использован для изучения влияния ФП и внешнего радиочастотного поля на мессбауэровские спектры поглощения и рассеяния <sup>6,7</sup>. В рамках такого подхода рассматривается выражение для заселенности конечного состояния системы "ядро+электронная подсистема (ЭП)+ $\gamma$ -квант":

$$P(\omega_1, t) = -2\text{Im} \sum \rho_{n_2, n_2}^{ge(\pm)}(\omega_2, \omega_1, t) V_{n_2, n_2}^{eg} / h, \quad (1)$$

где  $\rho$  - оператор матрицы плотности системы,  $V$  - оператор взаимодействия ядра с  $\gamma$ -квантами;  $g, e$  означают подуровни СТС ядра основного и возбужденного состояния,  $\pm$  - состояния ЭП, связанные с направлением вектора магнитного момента микрочастицы. Матричные элементы оператора  $\rho$  находятся методом фурье-образов из системы восьми уравнений Лиувилля, усредненных по состояниям теплового резервуара <sup>8</sup>:

$$\frac{d}{dt} \rho_{n_2, n_1, n_2, n_1}^{ij(\pm)} = -\frac{i}{\hbar} [H, \rho]_{n_2, n_1, n_2, n_1}^{ij(\pm)} - \frac{1}{\tau} \rho_{n_2, n_1, n_2, n_1}^{ij(\pm)} + \frac{1}{\tau} \rho_{n_2, n_1, n_2, n_1}^{ij(\pm)} \quad (2)$$

с начальными условиями  $\rho_{n_2, n_1, n_2, n_1}^{ij(\pm)}(0) = 0$ . В (1), (2)  $n_1, n_2$  - числа заполнения падающего и рассеянного  $\gamma$ -квантов,  $1/\tau$  - средняя частота флуктуаций между состояниями электронной подсистемы с  $S = \pm 1/2$ .

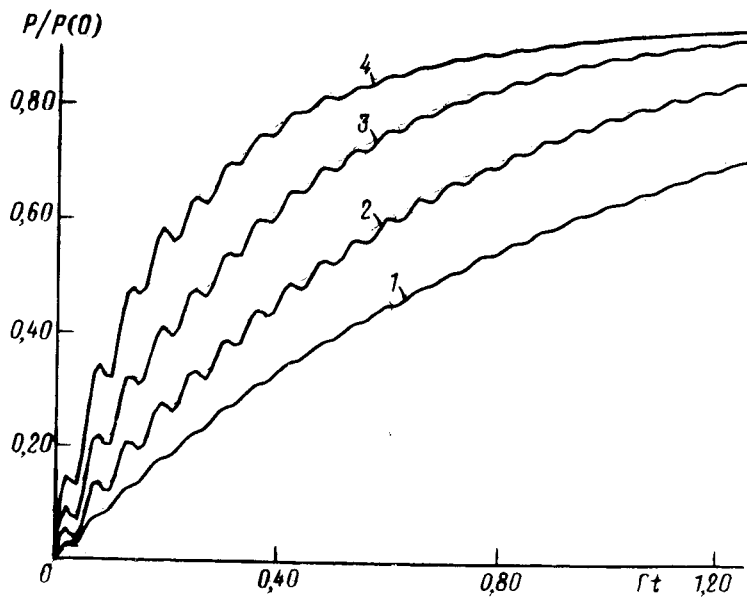


Рис. 1. Временные зависимости рассеянного излучения в зависимости от величины  $1/\tau$ : 1 -  $0,1\Gamma$ , 2 -  $\Gamma$ , 3 -  $2\Gamma$ , 4 -  $4\Gamma$

Так как во временных экспериментах приходящие на детектор  $\gamma$ -кванты не различаются по частотам, то происходит усреднение  $P(\omega_1, t)$  по фазе рассеянного излучения. Поэтому на временных зависимостях возникают осцилляции, обусловленные переходом ядра в суперпозиционное состояние только при поглощении падающего излучения. Кроме того, меняется наблюдаемая скорость распада возбужденного ядерного состояния за счет пуассоновской вероятности  $\exp(-t/\tau)$ .

Подставляя  $\rho_{n_2, n_2}^{ge(\pm)}$  из (2) в (1), получим выражение для заселенности конечного состояния системы:

$$P(\omega_1, t) \sim \operatorname{Re} \sum d_{r_1 M}^{(L)}(\vartheta_1) \chi_{r_1 r}^{(in)} d_{r M}^{(L)}(\vartheta_1) d_{s_1 M_1}^{(L)}(\vartheta_2) \chi_{s_1 s}^{(sc)} d_{s M_1}^{(L)}(\vartheta_2) \times \\ \times C^2(I_e L I_g, m_e M) C^2(I_e L I_g, m_e M_1) \Phi_{egg_1}(\omega_1, t). \quad (3)$$

В (3)  $d^{(L)}$  - функции Вигнера,  $C(\dots)$  - коэффициенты Клебша-Гордона;  $\chi^{(in)}$ ,  $\chi^{(sc)}$  - поляризационные матрицы плотности падающего и рассеянного излучения. Функция  $\Phi_{egg_1}$  имеет вид:

$$\Phi_{egg_1} = \sum_{\alpha=\pm 1} F_1(\alpha \Delta, \alpha a_{eg_1}) + \sum_{\beta=\pm 1} F_2(\alpha \Delta, \beta a_{eg_1}) + F_3(\Delta, \alpha a_{gg}, \beta a_{eg_1}) + F_4(\Delta, \alpha a_{eg}, \beta a_{eg_1}). \quad (4)$$

В (4) функция  $F_3$  наряду с  $F_4$  вносит основной вклад в формирование осцилляций на временных зависимостях (3) и равна

$$F_3 = F_{30}(1 - \exp(-ft)), \quad F_{30} = S/H, \quad H = -2ia_{eg}a_{eg_1}h_2h_3f, \quad S = h_1K + L,$$

$$h_1 = \Delta - a_{eg} - i\Gamma/2, \quad h_2 = h_1 - a_{gg_1}, \quad h_3 = h_1 + a_{gg_1}, \quad f = i(\Delta - a_{eg_1}) + \Gamma/2 + 1/\tau,$$

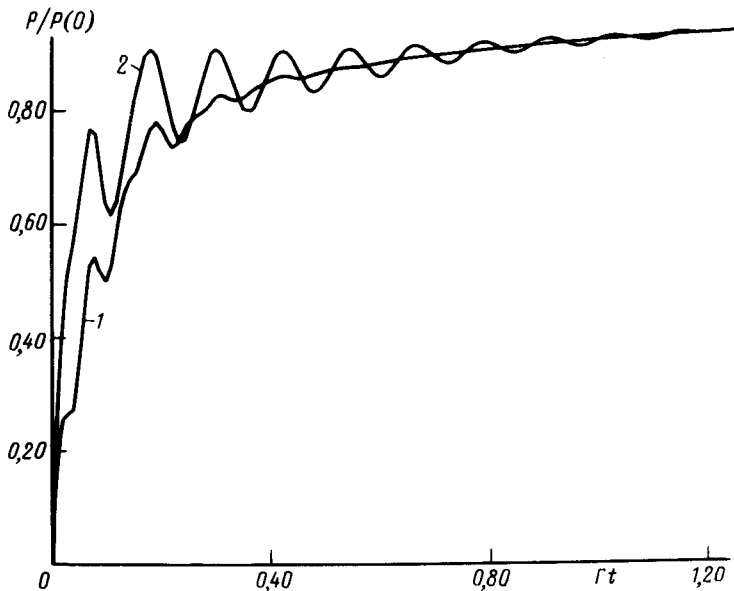


Рис. 2. Временные зависимости рассеянного излучения в зависимости от величины  $1/\tau$ : 1 -  $8,6\Gamma$ , 2 -  $17\Gamma$

$$L = \omega_{gg_1}(a_{eg}\omega_{eg_1} + \omega_{eg}a_{eg_1}) - i(\omega_{eg}^2 - \omega_{eg_1}\omega_{gg_1} - a_{eg}a_{eg_1})/\tau + (a_{eg_1} - a_{eg})/\tau^2 + i/\tau^3,$$

$$K = a_{eg}a_{eg_1} + \omega_{eg}\omega_{eg_1} - i(a_{eg} - a_{eg_1})/\tau + 1/\tau^2. \quad (5)$$

В (4), (5)  $\Delta$  означает допплеровский сдвиг падающего излучения,  $\omega_{ij}$  характеризует величину зеемановской энергии соответствующего перехода СТС ядра. Величина  $a_{ij}$  связана с  $\omega_{ij}$  соотношением  $\sqrt{\omega_{ij}^2 - 1/\tau^2}$  и отражает влияние ФП на величину сверхтонкого поля на ядре. Г-естественная ширина линии  $\gamma$ -излучения.

Временные зависимости рассеянного излучения проанализированы на примере ядра  $Fe^{57}(I_g = 1/2, I_e = 3/2)$  в суперпарамагнитном образце. Считается, что экспериментальные кривые получаются с помощью мессбауэровской спектроскопии совпадений. Поэтому в (3) проведено интегрирование по  $\vartheta_1$ ,  $\vartheta_2$  и усреднение по лоренцевой функции распределения падающего излучения. Кроме того, предполагается, что падающее и рассеянное излучение неполяризовано.

Пусть селективно возбуждается  $\gamma$ -переход  $-1/2 \rightarrow -3/2$ . Для численных расчетов берутся два случая: 1)  $\Delta = \omega_{-3/2-1/2}$ , 2)  $\Delta = a_{-3/2-1/2}$ . Анализ временных зависимостей показывает, что для 1), 2) они практически совпадают вплоть до  $1/\tau \simeq 17\Gamma$ , так как в этом интервале изменения средней частоты флюктуаций  $a_{-3/2-1/2} \simeq \omega_{-3/2-1/2}$ . Начиная с  $1/\tau \simeq 0,1\Gamma$  на ВЗРИ появляются осцилляции с частотой  $\Omega_1 = 2\omega_{-3/2-1/2}$ . Это происходит потому, что при поглощении  $\gamma$ -кванта под влиянием флюктуаций направления вектора магнитного момента СПЧ ядро  $Fe^{57}$  переходит из суперпозиционного состояния с  $m_g = \pm 1/2$  в суперпозиционное состояние с  $m_e = \pm 3/2$ . Они наиболее ярко выражены при  $1/\tau \simeq \Gamma$  и при дальнейшем росте  $1/\tau$  искажаются за счет увеличения наблюдаемой скорости распада возбужденного ядерного состояния (рис.1).

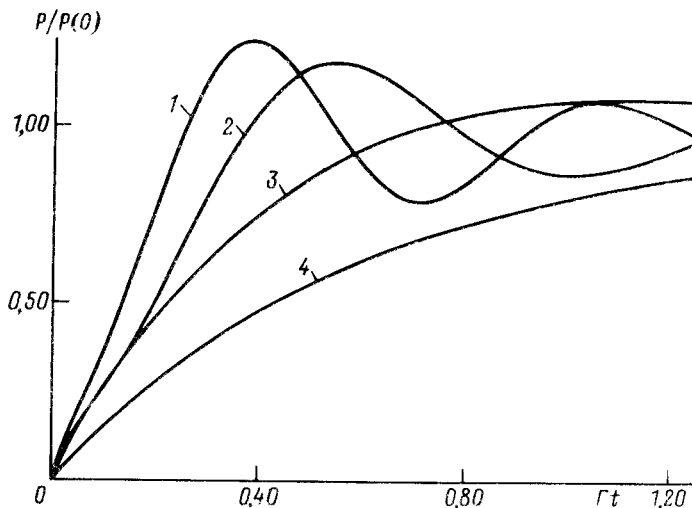


Рис. 3. Временные зависимости рассеянного излучения (случай 2) в зависимости от величины  $1/\tau$ : 1 -  $54\Gamma$ , 2 -  $54.4\Gamma$ , 3 -  $54.7\Gamma$ , 4 -  $55\Gamma$

Когда  $1/\tau \geq |\omega_{1/2-1/2}| = 8.6\Gamma$ , уменьшение сверхтонкого поля на ядре приводит к тому, что частота  $\gamma$ -перехода  $-1/2 \rightarrow 1/2$  равна частоте  $\gamma$ -перехода в отсутствии поля. Поэтому на временных зависимостях могут появляться осцилляции с частотой  $\Omega_2 = \omega_{-3/2-1/2}$ . Они несущественны при  $8.6\Gamma \leq 1/\tau \approx 10\Gamma$ , так как обусловлены нерезонансным характером возбуждения и большой шириной линии  $\gamma$ -перехода. При дальнейшем увеличении  $1/\tau$  ширина линии уменьшается ( $\Gamma_1 = \Gamma + 1/\tau - \sqrt{1/\tau^2 - \omega_{1/2-1/2}^2}$ ) и осцилляции с частотой  $\Omega_2$  становятся сравнимы по величине с осцилляциями с частотой  $\Omega_1$ , а при  $1/\tau \approx 17\Gamma$  будут доминировать (рис.2). При  $1/\tau > 17\Gamma$  в случае 1) частота  $\Omega_2$  не меняется. В случае 2) частота  $\Omega_2 = \omega_{-3/2-1/2}$  постепенно уменьшается и после того, как СТС ядра  $\text{Fe}^{57}$  полностью исчезает ( $1/\tau \geq \omega_{-3/2-1/2}$ ), получаются обычные временные зависимости в отсутствии флюктуационных процессов (рис.3).

Необходимо отметить, что результаты расчетов и их анализ справедливы для суперпарамагнетиков с однородным распределением микрочастиц по размерам. Способ их приготовления описан в <sup>9</sup>.

В заключение автор выражает благодарность Вагизову Ф.Г. и Манапову Р.А. за полезные обсуждения.

1. Balko B. Phys. Rev. B, 1986, 33, 7421.
2. Зелепухин М.В., Седов В.Е., Смирнов Г.В. и др. Письма в ЖЭТФ, 1989, 49, 143.
3. Hamill D.W., Hoy G.R. Phys. Rev. Lett., 1968, 21, 724.
4. Смирнов Г.В., Швыдько Ю.В., Колотов О.С. и др. ЖЭТФ, 1984, 86, 1495.
5. Arthur J., Brown G.S., Brown D.E., Ruby S.L. Phys. Rev. Lett., 1989, 63, 1629.
6. Викман Х., Верхейм Г. Химические применения мессбауэровской спектроскопии. М.: Мир, 1970. 437.
7. Митин А.В. Опт. и спектр., 1982, 53, 288.
8. Блум К. Теория матрицы плотности. М.: Мир, 1983.
9. Петров А.Е., Костичев А.Н., Петинов В.И. ФТГ, 1973, 15, 2927.